### · 国产氟标 PSMA ·

# Al<sup>18</sup>F-PSMA-BCH PET/CT 对前列腺癌根治性 切除术后早期复发的检测效能研究

刘辰! 刘特立! 谢卿! 刘嘉月! 任亚楠! 杜鹏² 杨勇² 杨志!

<sup>1</sup>北京大学肿瘤医院暨北京市肿瘤防治研究所核医学科、国家药监局放射性药物研究与评价重点实验室、恶性肿瘤发病机制及转化研究教育部重点实验室,北京 100142; <sup>2</sup>北京大学肿瘤医院暨北京市肿瘤防治研究所泌尿外科、恶性肿瘤发病机制及转化研究教育部重点实验室,北京 100142

通信作者:杨志, Email: pekyz@163.com

【关键词】 前列腺肿瘤;桥环化合物;前列腺特异膜抗原;正电子发射断层显像术;体层摄影术, X 线计算机;前列腺特异抗原;前列腺切除术;复发

基金项目: 北京市自然科学基金(7202028);北京大学医学科技创新平台发展基金(BMU2022MX11);北京市医院管理中心"登峰"计划专项(DFL20191102)

DOI:10.3760/cma.j.cn321828-20230129-00020

## Detection performance of Al<sup>18</sup>F-PSMA-BCH PET/CT in early relapsed prostate cancer after radical prostatectomy

Liu Chen¹, Liu Teli¹, Xie Qing¹, Liu Jiayue¹, Ren Yanan¹, Du Peng², Yang Yong², Yang Zhi¹¹Key Laboratory of Carcinogenesis and Translational Research (Ministry of Education/Beijing), Key Laboratory for Research and Evaluation of Radiopharmaceuticals (National Medical Products Administration), Department of Nuclear Medicine, Peking University Cancer Hospital & Institute, Beijing 100142, China; ²Key Laboratory of Carcinogenesis and Translational Research (Ministry of Education/Beijing), Department of Urology, Peking University Cancer Hospital & Institute, Beijing 100142, China Corresponding author: Yang Zhi, Email: pekyz@ 163.com

[Abstract] Objective To assess the performance of Al <sup>18</sup> F-prostate specific membrane antigen (PSMA)-BCH PET/CT in the detection and localization of early recurrent prostate cancer after radical prostatectomy. Methods From July 2021 to July 2022, a cohort of 51 patients (age: 49-80 ( $64.8\pm6.9$ ) years) who underwent Al <sup>18</sup> F-PSMA-BCH for biochemical recurrence with the prostate specific antigen (PSA) level less than 2  $\mu$ g/L in Peking University Cancer Hospital & Institute were retrospectively analyzed. The patients were stratified into 4 groups (PSA<0.2  $\mu$ g/L, 0.2  $\mu$ g/L  $\leq$  PSA<0.5  $\mu$ g/L, 0.5  $\mu$ g/L  $\leq$  PSA<1  $\mu$ g/L, 1  $\mu$ g/L  $\leq$  PSA<2  $\mu$ g/L groups) according to different PSA levels. Lesions detected by Al <sup>18</sup> F-PSMA-BCH PET/CT were recorded as prostate bed (including bed of seminal vesicles); pelvic, paraaortic, mediastinal/supraclavicular and axillary lymph nodes; bone lesions and visceral lesions. The detection

rates among different groups were compared by Fisher exact test. **Results** Of 51 patients, 30(58.8%) had evidence of abnormal uptake suggestive of recurrent prostate cancer, with 60.0%(18/30) had disease confined to the pelvis, including 26.7%(8/30) had prostate bed recurrence, 26.7%(8/30) had pelvic lymph nodes, 6.6%(2/30) had prostate bed recurrence with pelvic lymph nodes, while 40.0%(12/30) had extra pelvic disease. The detection rates of Al<sup>18</sup>F-PSMA-BCH PET/CT in PSA<0.2  $\mu$ g/L, 0.2  $\mu$ g/L  $\leq$ PSA<0.5  $\mu$ g/L, 0.5  $\mu$ g/L  $\leq$ PSA<1  $\mu$ g/L and 1  $\mu$ g/L  $\leq$ PSA<2  $\mu$ g/L groups were 39.1%(9/23), 6/11, 8/9 and 7/8, respectively. There were no significant differences of detection rates between PSA<0.2  $\mu$ g/L group and 0.2  $\mu$ g/L  $\leq$ PSA<2  $\mu$ g/L group (P=0.397) and also between 0.5  $\mu$ g/L  $\leq$ PSA<1  $\mu$ g/L group and 1  $\mu$ g/L  $\leq$ PSA<2  $\mu$ g/L group (P=0.929). **Conclusion** Al<sup>18</sup>F-PSMA-BCH has a high detection rate for early recurrent prostate cancer, even at low PSA levels less than 0.2  $\mu$ g/L.

[Key words] Prostatic neoplasms; Bridged-ring compounds; Prostate-specific membrane antigen; Positron-emission tomography; Tomography, X-ray computed; Prostate-specific antigen; Prostatectomy; Recurrence

Fund program: Beijing Natural Science Foundation (7202028); Peking University Medicine Seed Fund for Interdisciplinary Research (BMU2022MX11); Beijing Hospitals Authority Ascent Plan (DFL20191102)

DOI: 10.3760/cma.j.cn321828-20230129-00020

前列腺癌是男性常见的恶性肿瘤之一,发病人群约占全部男性恶性肿瘤例数的 7.8%<sup>[1]</sup>。对于分期较早的临床显著性前列腺癌患者,应积极接受手术或外放射治疗以达到根治性治疗的目标。然而,近 1/4 的患者会在根治性手术后复发,其 10 年累积发病率约为 24%<sup>[2]</sup>。近年来,研究表明挽救性局部治疗(如挽救性放疗)是前列腺癌术后复发最有效的干预手段之一,尤其是患者在前列腺特异抗原(prostate specific antigen, PSA)仍处于较低水平的早期复发阶段,病灶多为寡复发和寡转移,且多局限于术区和盆腔,及时行挽救性局部治疗可获得再次根治的可能<sup>[3]</sup>。

以前列腺特异膜抗原(prostate specific membrane antigen, PSMA)为靶点的<sup>18</sup> F-PSMA PET/CT 和<sup>68</sup> Ga-PSMA PET/CT 显像可有效检测前列腺癌复发病灶<sup>[4]</sup>,已经相继被各类指南推荐用于前列腺癌的复发监测<sup>[5]</sup>。如前所述,新型的治疗技术对前列腺癌术后早期复发的诊断提出了更高的要求。本研究旨在探讨 Al<sup>18</sup> F-PSMA-BCH PET/CT 对前列腺癌根治性切除术后 PSA 水平较低患者的早期复发病灶的检出效能及分布特征。

#### 资料与方法

1.研究对象。回顾性分析 2021 年 7 月至 2022 年 7 月间于北京大学肿瘤医院行 Al<sup>18</sup> F-PSMA-BCH PET/CT 检测前列腺癌根治性切除术后早期复发 (PSA<2.0 μg/L)患者 51 例,年龄 49~80(64.8±6.9)岁。纳人标准:(1)病理证实为前列腺腺癌;(2)前列腺癌根治性切除术后;(3)至少连续 2 次检测确认血清 PSA 水平持续升高,且 PSA 最高值小于 2.0 μg/L,PSA<0.2 μg/L 的患者也纳人本研究;(4) 末次血清 PSA 检测与 Al<sup>18</sup> F-PSMA-BCH PET/CT 检查间隔时间小于 2 周。排除标准:(1)患者已接受

术后挽救性放疗或辅助放疗;(2)正在接受内分泌治疗;(3)合并其他肿瘤;(4)影像及临床资料不完整。患者依据 PSA 水平被分为 4 个亚组:PSA < 0.2  $\mu$ g/L、0.2  $\mu$ g/L < PSA < 0.5  $\mu$ g/L、0.5  $\mu$ g/L < PSA < 1  $\mu$ g/L 和 1  $\mu$ g/L < PSA < 2  $\mu$ g/L 组。根据指南,将患者分为低中危组(PSA < 20  $\mu$ g/L,Gleason 评分 6 ~ 7 分和 cT1-cT2c;患者需符合全部条件)和高危组(PSA > 20  $\mu$ g/L,Gleason 评分 8 ~ 10 分或 cT3 以上;患者至少需符合其中 1 条)[5]。前列腺癌分级分组采用2014 年国际泌尿病理协会(International Society of Urological Pathology,ISUP)分级系统。本研究经北京大学肿瘤医院伦理委员会批准(伦理批件号:2017K94),受检者均签署知情同意书。

2. Al<sup>18</sup>F-PSMA-BCH PET/CT 显像。Al<sup>18</sup>F-PSMA-BCH 制备及质量控制方法参考文献[6]。每例患者 经静脉注射 Al18F-PSMA-BCH 185~330 MBq, 注射 后(120±10) min 采用 Biography mCT Flow PET/CT (德国 Siemens 公司)和 uEXPLORER 全身 PET/CT (上海联影医疗科技股份有限公司)进行显像,扫描 范围为头顶至大腿中段。Biography mCT Flow PET/ CT的CT采集参数:电压120kV,自动毫安电流,扫 描层厚 3 mm; PET 采集参数:采用三维模式采集, 共扫描 5~7 个床位,每个床位 3min,图像重建采用 有序子集最大期望值迭代法(ordered-subsets expectation maximization, OSEM)、时间飞行技术(time of flight, TOF) 以及点扩展函数(point spread function, PSF), 迭代次数为2次, 迭代子集21次。uEXPLORER 全身 PET/CT 的 CT 采集参数:电压 120 kV,自动毫 安电流,扫描层厚 3 mm;PET 采集参数:采用三维模 式全身采集,采集时间 5 min,图像重建采用 OSEM、 TOF 以及 PSF, 迭代次数为 3 次, 迭代子集 20 次。 利用 CT 数据对 PET 图像行衰减校正,最终获得全

身 CT 和 PET 图像。

3. Al<sup>18</sup>F-PSMA-BCH PET/CT 图像分析。由 2 位有经验的核医学科医师共同分析图像,意见不一致时讨论达统一。Al<sup>18</sup>F-PSMA-BCH PET/CT 图像视觉评判标准为除生理性摄取(包括泪腺、唾液腺、肝脏、脾脏、胃肠道、副神经节等)外,局灶型摄取显著高于周围正常组织即判定为阳性病灶。将全部病变按前列腺床(包括精囊床),盆腔、腹膜后、纵隔/锁骨上和腋窝淋巴结,骨骼和内脏病变分区分析。

4.随访及判断标准。患者均接受了 3~12 个月随 访,依据病理、同期 2 种以上影像验证或病变经局部治 疗后患者 PSA 显著下降为判定复发转移病灶标准。

5.统计学处理。采用 IBM SPSS 27.0 软件分析数据。符合正态分布的定量资料以 $\bar{x}\pm s$ 表示,不符合正态分布的定量资料以 $M(Q_1,Q_3)$ 表示,2 组间比较采用 Mann-Whitney U 检验;定性资料以数量(百分比)表示,组间比较采用 Fisher 确切概率法。相关性分析采用 Spearman 秩相关。P<0.05 为差异或相关性有统计学意义。

#### 结 果

1.患者基本情况。51 例患者的血清总 PSA 为 0.21(0.13,0.87)  $\mu g/L$ ,范围为  $0.02 \sim 1.98$   $\mu g/L$ ;其中 PSA<0.2  $\mu g/L$  组 23 例(45.1%),0.2  $\mu g/L \leq PSA < 0.5$   $\mu g/L$  组 11 例(21.6%),0.5  $\mu g/L \leq PSA < 1$   $\mu g/L$  组 9 例(17.6%),1  $\mu g/L \leq PSA < 2$   $\mu g/L$  组 8 例(15.7%)。患者 Gleason 评分 6 分 2 例(3.9%)、7 分 25 例(49.0%)、8 分 11 例(21.6%),9 分 11 例(21.6%),10 分 2 例(3.9%)。ISUP 分级  $1 \sim 5$  级依次为 2 例(3.9%)、10 例(19.6%)、15 例(29.4%)、11 例(21.6%)、13 例(25.5%)。低中危前列腺癌 17 例(33.3%),高危前列腺癌 34 例(66.7%)。

2. Al<sup>18</sup>F-PSMA-BCH PET/CT 显像结果。51 例 患者中 30 例(58.8%)经 Al<sup>18</sup>F-PSMA-BCH PET/CT 显像至少检出 1 处阳性病灶,提示前列腺癌根治性 切除术后复发,其中 60.0%(18/30)局限于盆腔,包括前列腺床(包括精囊床)单发病灶 8 例(26.7%)(图 1)、盆腔局域淋巴结阳性病灶 8 例(26.7%)、前列腺术区合并盆腔淋巴结阳性病灶 2 例(6.6%);其余 12 例(40.0%)患者为盆腔外病变,包括腹膜后淋巴结或骨骼阳性病灶。本研究所纳入患者未检出纵隔/锁骨上和腋窝淋巴结和内脏阳性病变。PSA<0.2 μg/L 组中 13.0%(3/23)患者检出单发局部复发病灶,而 8.7%(2/23)患者检出存在腹膜后淋巴结或骨转移。30 例阳性患者中 23 人明确最终诊

断,其中1例患者接受挽救性盆腔淋巴结清扫证实病 灶为假阳性,16例患者接受局部放疗后证实15例为 真阳性和1例为假阳性,余6例患者通过综合影像 诊断证实5例真阳性和1例假阳性,Al<sup>18</sup>F-PSMA-BCH PET/CT的阳性预测值为87.0%(20/23)。

3.  $Al^{18}F$ -PSMA-BCH PET/CT 在不同 PSA 水平亚组中对复发病灶的检出效能。PSA<0.2  $\mu$ g/L、0.2  $\mu$ g/L  $\leq$  PSA<0.5  $\mu$ g/L、0.5  $\mu$ g/L  $\leq$  PSA<1  $\mu$ g/L 和 1  $\mu$ g/L  $\leq$  PSA<2  $\mu$ g/L 组的阳性病灶检出率分别为 39.1% (9/23)、6/11、8/9 和 7/8,其中 PSA<0.2  $\mu$ g/L 与 0.2  $\mu$ g/L  $\leq$  PSA<0.5  $\mu$ g/L 组 以及 0.5  $\mu$ g/L  $\leq$  PSA<1  $\mu$ g/L 与 1  $\mu$ g/L  $\leq$  PSA<2  $\mu$ g/L 组 检出率差异均无统计学意义(P 值:0.397、0.929)。将上述 2 组分别合并,进一步分析 PSA<0.5  $\mu$ g/L 和 0.5  $\mu$ g/L  $\leq$  PSA<2  $\mu$ g/L 组间 al<sup>18</sup> F-PSMA-BCH PET/CT 阳性病灶检出率,0.5  $\mu$ g/L  $\leq$  PSA<2  $\mu$ g/L 组的检出率、前列腺床(精囊床)和骨病灶检出率均高于 PSA<0.5  $\mu$ g/L组(表1)。

4.  $A1^{18}$  F-PSMA-BCH PET/CT 阳性组及阴性组间患者临床特征比较。 $A1^{18}$  F-PSMA-BCH PET/CT 阳性结果与 PSA 水平和患者危险度分层相关( $r_s$  值:0.474、0.338,P 值:<0.001、0.015),与 ISUP 分级无相关性( $r_s$ =0.204,P=0.152)。阳性组 PSA 水平高于阴性组[0.539(0.172,1.149)和0.138(0.122,0.213)  $\mu$ g/L;U=140.00,P=0.001],阳性组高危人群构成比高于阴性组[80.0%(24/30)和47.6%(10/21);P=0.033]。前列腺癌高危组阳性病灶的检出率高于低中危组[70.6%(24/34)和6/17;P=0.016]。

#### 讨 论

本研究证实了对于低 PSA 水平(PSA<2.0 μg/L),甚至是极低 PSA 水平(PSA<0.2 μg/L)前列腺癌根治性切除术后早期复发患者, $Al^{18}$ F-PSMA-BCH PET/CT 可有效检出复发病灶,本研究中 PSA<0.2 μg/L组和 0.2 μg/L《PSA<0.5 μg/L组的阳性病灶检出率依次为 39.1%(9/23)和 6/11。已有大样本前瞻性多中心則期临床研究结果显示,对于 PSA<0.5 μg/L的前列腺癌生化复发患者, $c^{68}$  Ga-PSMA-11 PET/CT及 2-(3-(1-羧基-5-((6- $t^{18}$ F-氟-吡啶-3-羰基)-氨基)-戊基)-脲基)戊二酸[2-(3-(1-carboxy-5-((6- $t^{18}$ F-fluoropyridine-3-carbonyl)-amino)-pentyl)-ureido)-pentanedioic acid, $t^{18}$ F-DCFPyL] PET/CT 对复发病灶的检出率约为 34.4%~38.0%  $t^{14,71}$ 。我国研究者也相继报道了 $t^{68}$ Ga-PSMA-11和 $t^{18}$ F-PSMA-1007对于PSA<0.5 μg/L

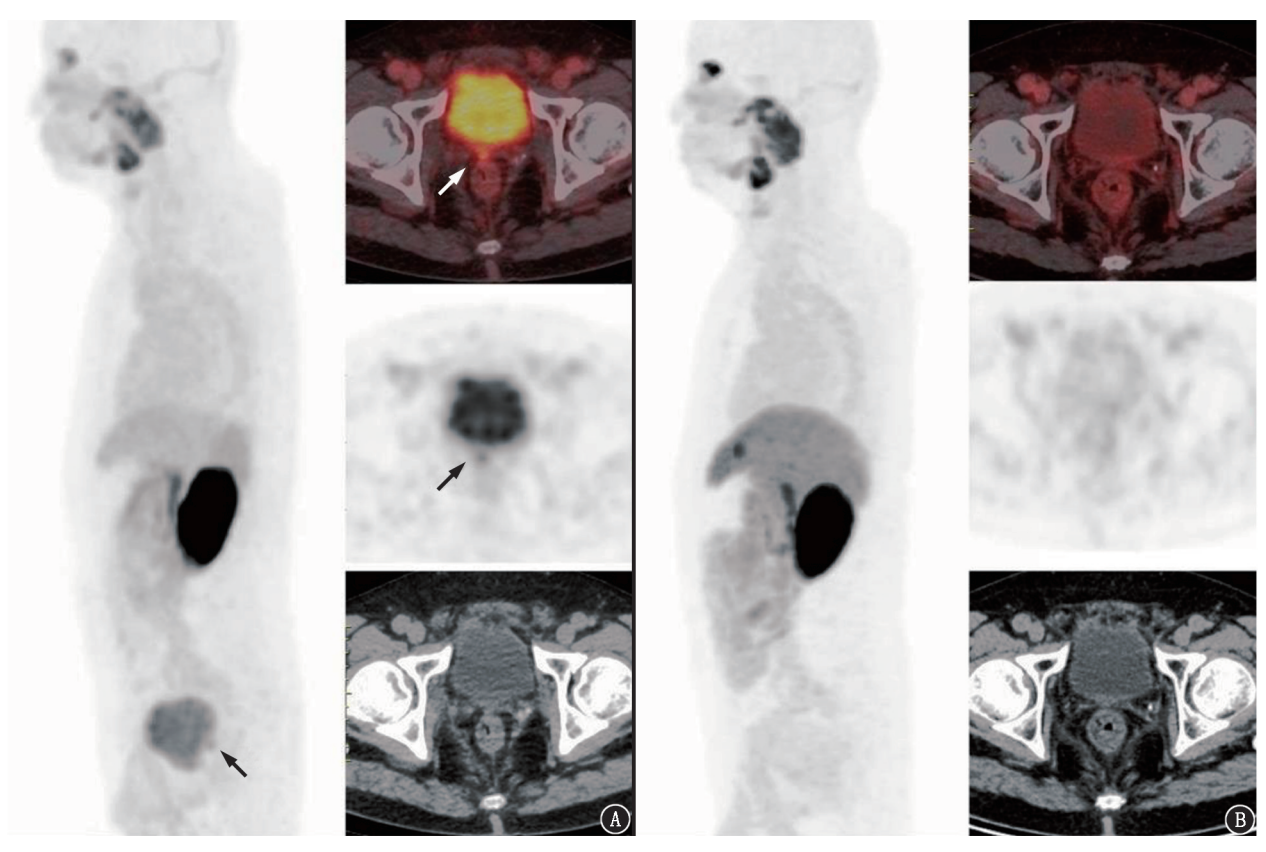


图 1 前列腺癌患者(77岁)前列腺癌根治性切除术后 Al<sup>18</sup>F-前列腺特异膜抗原(PSMA)-BCH PET/CT 显像图。患者前列腺癌根治性切除术后 2 年,Gleason 评分 4+3=7分,分期 pT2cN0M0,PET/CT 显像前前列腺特异抗原(PSA)0.189  $\mu$ g/L。A. 矢状位最大密度投影图显示前列腺床显像剂浓聚灶(黑箭头示),轴位 PET/CT 融合图像显示术区局部显像剂浓聚灶(白箭头示),SUV<sub>max</sub> 6.7,考虑为前列腺癌术后局部复发,患者随即行前列腺术区放射治疗,放疗结束后 6 个月 PSA<0.006  $\mu$ g/L;B. 放疗后 6 个月复查 Al<sup>18</sup>F-PSMA-BCH PET/CT 显像,原前列腺床显像剂浓聚灶未见,符合治疗后改变,余躯干部未见异常放射性浓聚灶

表 1 不同 PSA 亚组 Al<sup>18</sup>F-PSMA-BCH PET/CT 阳性病灶的检出率和分布特点

组别	例数	PSA 阳性患者	前列腺癌床 (精囊床)复发	盆腔区域 淋巴结转移	腹膜后 淋巴结转移	骨转移
PSA<0.5 µg/L 组	34	15/34(44.1%)	6/34(17.6%)	8/34(23.5%)	2/34(5.9%)	1/34(2.9%)
0.5 μg/L≤PSA<2 μg/L 组	17	15/17	8/17	7/17	2/17	8/17
<i>P</i> 值		0.003	0.027	0.192	0.854	< 0.001

注:PSA 为前列腺特异抗原,PSMA 为前列腺特异膜抗原

的生化复发病灶检出率均为 50%<sup>[8-9]</sup>。本研究与上述研究结果一致,Al<sup>18</sup>F-PSMA-BCH PET/CT 在前列 腺癌根治性切除术后早期复发病灶监测中具备良好的检出效能。

本研究重点关注了 Al<sup>18</sup> F-PSMA-BCH PET/CT 在 PSA<0.5 μg/L, 乃至 PSA<0.2 μg/L 时对复发病灶的检出效能。这是由于挽救性放疗的最佳介入时机为生化复发早期阶段(PSA<0.5 μg/L),且在 PSA 水平更低的阶段及时接受挽救性放疗,可有助于提升再次根治的可能性并推迟内分泌治疗的起始时点。这为前列腺癌早期复发的检测提出了更高的要求,因此近年来陆续有研究探索极低 PSA 水平的生

化复发病灶的检测率。Perry 等<sup>[10]</sup>报导了<sup>18</sup> F-DCFPyL对于 PSA<0.2 μg/L前列腺癌根治性切除术后复发病灶的检出率为 7/11; Haidar等<sup>[11]</sup>研究的亚组分析显示,<sup>68</sup> Ga-PSMA-11 的病灶检出率为 2/4; Meta 分析所报道的<sup>68</sup> Ga-PSMA PET 在 PSA<0.2 μg/L 亚组的病灶检出率为 33%<sup>[12]</sup>。本研究中 Al<sup>18</sup> F-PSMA-BCH PET/CT 对此亚组的病灶检出率为 39.1%(9/23),与 Meta 分析结果更为相近。值得关注的是,Al<sup>18</sup> F-PSMA-BCH PET/CT 在极低 PSA 水平所检出的病灶仅有 3/9 位于术区局部,而 9 例阳性患者中有 2 例被检出腹膜后淋巴结转移或骨转移,上述转移病灶均位于传统挽救性放疗靶区之外,因此对于

现行标准的挽救放疗计划的制定提出了新的思考。

本研究发现复发病灶的检出率与显像前 PSA 水平和患者的危险度分层相关。PSA 是前列腺癌根 治性切除术后最重要的监测指标之一,对于生化复 发的诊断目前仍是以 0.2 μg/L 作为诊断界值。现 行的临床应用当中也常常在 PSA>0.2 μg/L 时推荐 使用 PSMA PET/CT 检测复发病灶。然而理论上 讲,前列腺癌根治术后,患者血清 PSA 呈非零值即 为生化复发,如何参照 PSA 水平选择 PSMA PET/ CT 显像的最佳时机一直是临床讨论的热点。美国 核医学协会共识推荐对于前列腺癌根治性切除术后 患者,如果术后 PSA 水平下降不满意或 PSA 水平下 降至不可测水平后再次升高即应考虑接受 PSMA PET/CT 检测复发病灶,对于高危前列腺癌患者尤 是如此[13]。上述推荐中将 PSMA PET/CT 检查时 机前移至极低 PSA 水平的早期复发患者。本研究 及 Perry 等<sup>[10]</sup> 研究结果均显示 PSA < 0.2 μg/L 与 0.5 μg/L≤PSA<2 μg/L 亚组间对复发病灶的检出 率差异无统计学意义,表明极低 PSA 水平的早期复 发患者也应及时接受 PSMA PET/CT 检测有无复发 病灶,以免错过最佳干预时机。

本研究为小样本回顾性研究,仍存在局限性。首先本研究大部分患者的病变无法获得病理证实,对于本实验中阴性病灶的定性影响较大,此问题也是相关临床研究共有的问题<sup>[4]</sup>。由于真阴性病灶需取得病理才可明确诊断,本回顾性研究参考既往<sup>68</sup>Ga-PSMA-11 PET/CT 和<sup>18</sup>F-DCFPyl PET/CT 在前列腺癌复发病灶诊断研究设计,重点探讨了 Al<sup>18</sup>F-PSMA-BCH PET/CT 对阳性病灶的诊断效能。

综上,本研究证实了 Al<sup>18</sup>F-PSMA-BCH PET/CT 对于前列腺癌根治性切除术后低 PSA 水平的生化 复发患者具有较高检出率,即使对 PSA<0.2 μg/L 的患者,该显像剂仍能有效检出复发病灶。Al<sup>18</sup>F-PSMA-BCH PET/CT 对前列腺癌复发患者的后续治疗选择具有重要作用。

利益冲突 所有作者声明无利益冲突

作者贡献声明 刘辰:研究实施、统计学分析、论文撰写;刘特立、谢卿、任亚楠:研究实施;刘嘉月:数据整理;杜鹏、杨勇、杨志:研究指导、论文修改

#### 参考文献

- [1] Ferlay J, Laversanne M, Ervik M, et al. Global cancer observatory: cancer tomorrow [DB/OL]. Lyon, France: International Agency for Research on Cancer, 2020[2022-06-24]. https://gco.iarc.fr/tomorrow.
- [2] Suárez JF, Zamora V, Garin O, et al. Mortality and biochemical recurrence after surgery, brachytherapy, or external radiotherapy for lo-

- calized prostate cancer: a 10-year follow-up cohort study [J]. Sci Rep, 2022, 12(1): 12589. DOI: 10.1038/s41598-022-16395-w.
- [3] Dietlein F, Kobe C, Neubauer S, et al. PSA-stratified performance of <sup>18</sup>F- and <sup>68</sup>Ga-PSMA PET in patients with biochemical recurrence of prostate cancer[J]. J Nucl Med, 2017, 58(6): 947-952. DOI:10.2967/jnumed.116.185538.
- [4] Morris MJ, Rowe SP, Gorin MA, et al. Diagnostic performance of <sup>18</sup>F-DCFPyL-PET/CT in men with biochemically recurrent prostate cancer; results from the CONDOR phase III, multicenter study [J]. Clin Cancer Res, 2021, 27 (13); 3674-3682. DOI; 10.1158/ 1078-0432.CCR-20-4573.
- [5] National Comprehensive Cancer Network. NCCN clinical practice guidelines in oncology: prostate cancer (Version 1.2023) [EB/ OL]. [2023-01-29]. https://www.nccn.org/guidelines/guidelines-detail? category = 1&id = 1459.
- [6] Liu T, Liu C, Xu X, et al. Preclinical evaluation and pilot clinical study of Al<sup>18</sup>F-PSMA-BCH for prostate cancer PET imaging[J]. J Nucl Med. 2019, 60(9): 1284-1292. DOI:10.2967/jnumed.118.221671.
- [7] 马乐,张万春,翟洛萍,等. <sup>18</sup>F-DCFPyL PET/CT 的不同诊断标准对前列腺癌原发病灶的诊断价值[J].中华核医学与分子影像杂志, 2022, 42 (12): 734-738. DOI: 10. 3760/cma. j. cn321828-20220531-00180.
  - Ma L, Zhang WC, Zhai LP, et al. Diagnostic values of different diagnostic criteria of <sup>18</sup>F-DCFPyL PET/CT for primary prostate cancer[J]. Chin J Nucl Med Mol Imaging, 2022, 42(12): 734-738. DOI:10.3760/cma.j.cn321828-20220531-00180.
- [8] 王一宁,陈若华,周翔,等. <sup>68</sup>Ga-PSMA-11 PET/CT 与<sup>18</sup>F-FDG PET/CT 在前列腺癌术前 TNM 分期中的对比研究[J].中华核 医学与分子影像杂志, 2021, 41(11): 647-652. DOI:10.3760/cma.j.cn321828-20200623-00247.
  Wang YN, Chen RH, Zhou X, et al. Comparison of <sup>68</sup>Ga-PSMA PET/CT and <sup>18</sup>F-FDG PET/CT for preoperative TNM staging of page
  - PET/CT and <sup>18</sup>F-FDG PET/CT for preoperative TNM staging of patients with prostate cancer[J]. Chin J Nucl Med Mol Imaging, 2021, 41(11): 647-652. DOI:10.3760/cma.j.cn321828-20200623-00247.
- [9] 田蓉蓉,赵铭,周洁,等. <sup>18</sup>F-PSMA-1007 PET/CT 对低 PSA 水平前列腺癌复发的检测价值[J].中华核医学与分子影像杂志, 2020, 40 (10): 589-594. DOI:10.3760/cma.j.cn321828-20190930-00215.
  Tian RR, Zhao M, Zhou J, et al. Detection value of <sup>18</sup>F-PSMA-1007 PET/CT in the recurrence of prostate cancer at low serum prostate specific antigen level [J]. Chin J Nucl Med Mol Imaging, 2020, 40 (10): 589-594. DOI:10.3760/cma.j.cn321828-20190930-00215.
- [ 10 ] Perry E, Talwar A, Taubman K, et al. [ <sup>18</sup>F ] DCFPyL PET/CT in detection and localization of recurrent prostate cancer following prostatectomy including low PSA < 0.5 ng/mL[J]. Eur J Nucl Med Mol Imaging, 2021, 48(6): 2038-2046. DOI:10.1007/s00259-020-05143-9.
- [ 11 ] Haidar M, Abi-Ghanem AS, Moukaddam H, et al. <sup>68</sup>Ga-PSMA PET/ CT in early relapsed prostate cancer patients after radical therapy [ J ]. Sci Rep, 2022, 12(1): 20500. DOI:10.1038/s41598-022-24688-3.
- [12] Perera M, Papa N, Roberts M, et al. Gallium-68 prostate-specific membrane antigen positron emission tomography in advanced prostate cancer-updated diagnostic utility, sensitivity, specificity, and distribution of prostate-specific membrane antigen-avid lesions: a systematic review and meta-analysis [J]. Eur Urol, 2020, 77(4): 403-417. DOI: 10.1016/j.eururo.2019.01.049.
- [13] Jadvar H, Calais J, Fanti S, et al. Appropriate use criteria for prostate-specific membrane antigen PET imaging[J]. J Nucl Med, 2022, 63(1): 59-68. DOI:10.2967/jnumed.121.263262.

(收稿日期:2023-01-29)